# SUS 基板上に作製した MgB₂薄膜の超伝導特性と微細組織

Superconducting properties and microstructures for MgB<sub>2</sub> thin films grown on SUS tapes

京大院工ネ科1,日立2,電中研3

 $^{\circ}$ 北村 直也 $^{1}$ ,出店 純弥 $^{1}$ ,堀井 滋 $^{1}$ ,岩中 拓夢 $^{2}$ ,楠 敏明 $^{2}$ ,一瀬 中 $^{3}$ ,土井 俊哉 $^{1}$ 

Kyoto Univ.<sup>1</sup>, Hitachi Ltd.<sup>2</sup>, CRIEPI<sup>3</sup>

N. kitamura<sup>1</sup>, J. Demise<sup>1</sup>, S. Horii<sup>1</sup>, T. Iwanaka<sup>2</sup>, T. Kusunoki<sup>2</sup>, A. Ichinose<sup>3</sup>, T. Doi<sup>1</sup> E-mail: kitamura.naoya.74m@st.kyoto-u.ac.jp

## 1. はじめに

MgB2 は金属系超伝導体の中で最高の臨界温 度( $T_c = 39 \text{ K}$ )を有し、液体水素や冷凍機を利用 した 20 K 近傍での実用化が期待されている。ま た、MgB2には組成制御が比較的容易であるこ と、構成元素のMgとBがいずれも資源的に豊 富であること、軽量であること(低比重)等の 特長もある。我々は電子ビーム(EB)蒸着法でSi 基板上に作製した MgB2 薄膜が高い臨界電流密 度( $J_c = 0.6 \text{ MA/cm}^2$  @ 20 K, 5 T)を示すことを報 告した[1]。強磁場発生用の超伝導線材の実用化 には、優れた歪み特性を有することが必要であ る。そこで本研究では、基板として高強度の SUS304 を用い、MgB<sub>2</sub> 薄膜をEB 法で作製した。 また、作製した MgB2 薄膜について成膜条件と  $T_c$ および $J_c$ の関係を調べ、Si、Cu、Al 上の $MgB_2$ 膜と比較した。また、Jcの歪み依存性について も調べた。

### 2. 実験方法

MgB2薄膜の作製にはEB法を用いた。超高真 空中で Mg および B 原料にそれぞれ電子ビーム を照射し、加熱したSUS 基板上に300s蒸着し、 MgB<sub>2</sub>/SUS 試料を得た。なお、原料には Mg 鋳 造塊と結晶性 B を用いた。基板の加熱は裏面に 黒体塗料を塗布し、赤外線ランプを用いて加熱 した。成膜中にはB原料からの輻射熱によって 基板の成膜面が加熱され、基板温度が上昇する ので成膜中の基板温度は基板材料に依存した 時間変化を示すと考えられる。本研究では便宜 上、成膜直前の基板温度を成膜温度(T<sub>4</sub>)とした。 生成相の同定には X 線回折(XRD)法を、化学

組成の決定には誘導結合プラズマ(ICP)発光分 光分析を、 $T_c$ 、 $J_c$ の決定には四端子法を用いた。 また、薄膜断面の微細組織および組成分析には それぞれ STEM および EDX を用いた。

#### 3. 結果と考察

XRD 測定から、 $MgB_2$  膜はいずれの試料でも c軸配向していることがわかった。Table 1 に

MgB<sub>2</sub>/SUS、MgB<sub>2</sub>/Si、MgB<sub>2</sub>/Cu 及び MgB<sub>2</sub>/Al の $T_c$ と成膜温度を示す。 $MgB_2/SUS$ の $T_c$ (33.5K) はMgB<sub>2</sub>/Siよりも低いが、MgB<sub>2</sub>/Cuおよび MgB<sub>2</sub>/Alと比較すると高い。

Fig. 1に MgB<sub>2</sub>/SUS の J<sub>c</sub>の磁場依存性を示す。 なお、Table 1 に示した MgB<sub>2</sub>/Si、MgB<sub>2</sub>/Cu お よび  $MgB_2/Al$  の  $J_c$  の磁場依存性も併せて示し た。MgB<sub>2</sub>/SUSではMgB<sub>2</sub>/CuおよびMgB<sub>2</sub>/Al に比べて高い $J_c$ が得られ、低磁場側で $MgB_2/Si$ よりも高い $J_c$ を実現した。

当日はさらに断面 STEM 像と EDX について の考察結果、成膜条件と超伝導特性の関係、Jc の歪み依存性についても報告する予定である。

Table 1  $T_c$ s of MgB<sub>2</sub> films.

| sample                | T <sub>d</sub> (°C) | $T_{\rm c}\left({\rm K}\right)$ |
|-----------------------|---------------------|---------------------------------|
| $MgB_2/SUS$           | 262                 | 33.5                            |
| MgB <sub>2</sub> / Si | 248                 | 36.1                            |
| $MgB_2/Cu$            | 281                 | 30.6                            |
| $MgB_2/Al$            | 266                 | 31.1                            |

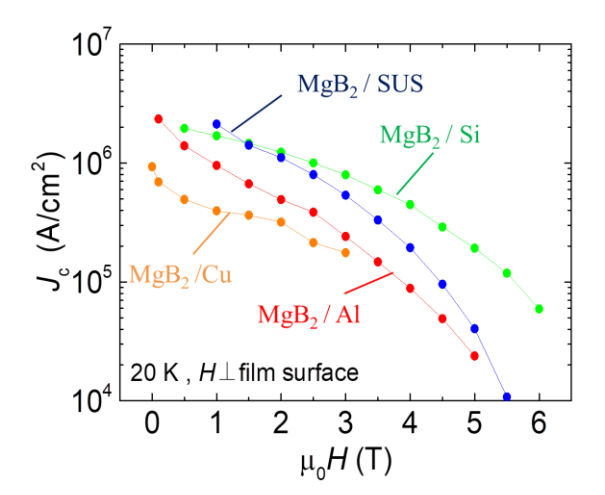


Fig. 1  $J_c$ - $\mu_0 H$  curves at 20 K for MgB<sub>2</sub> films grown on SUS, Cu, Al and Si.

### 4. 参考文献

[1] 下田ら、平成28年春季応用物理学会 21a-W834-4.